

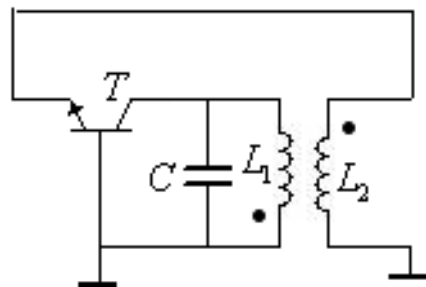
第二次习题课

第5章： 正弦波振荡器

第6章： 频谱搬移电路

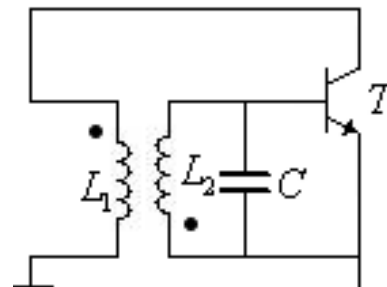
P141, 第5.13题

试判断所示交流通路中，能否产生振荡？



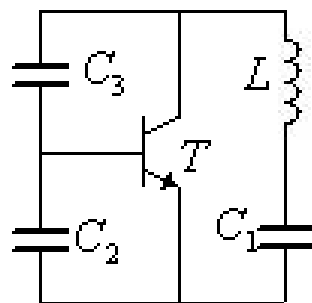
不振。同名端接反，不满足正反馈；

(图a)



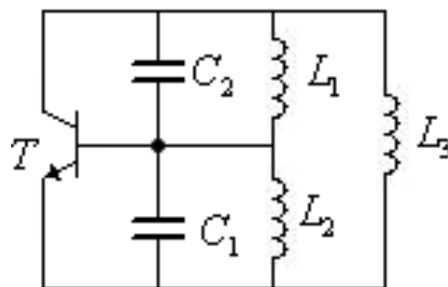
能振。变压器耦合反馈振荡器；

(图b)



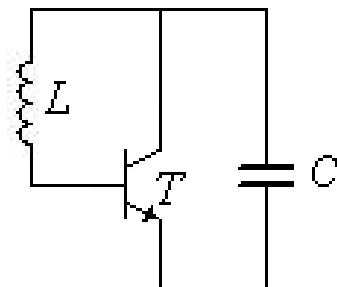
不振。不满足三点式振荡电路的组成法则；

(图c)



可能产生振荡

(图d)

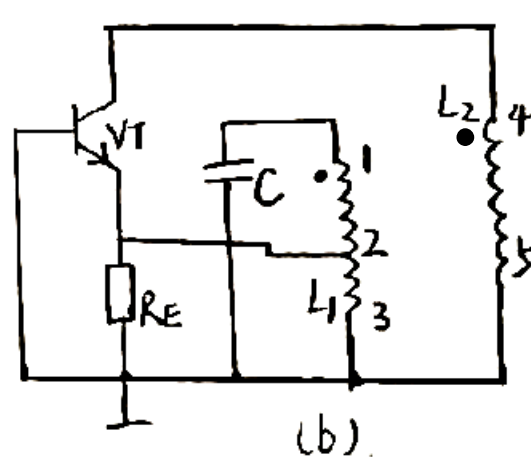
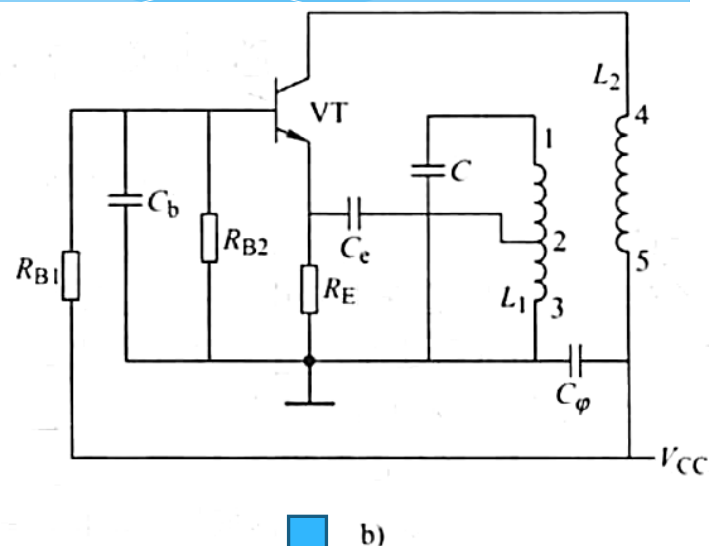
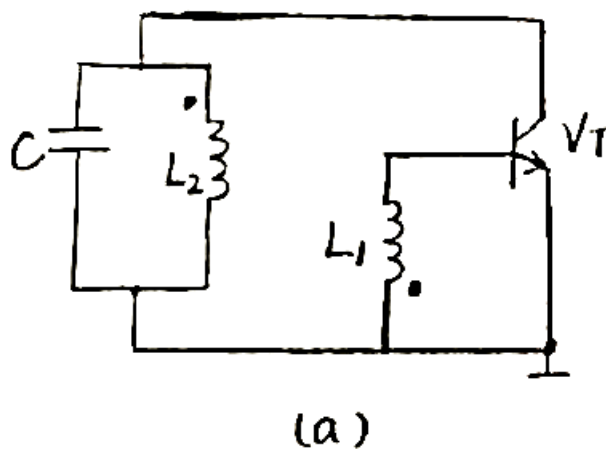
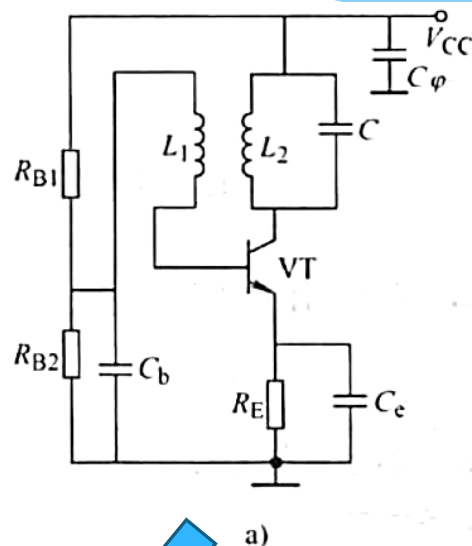


可能产生振荡

(图e)

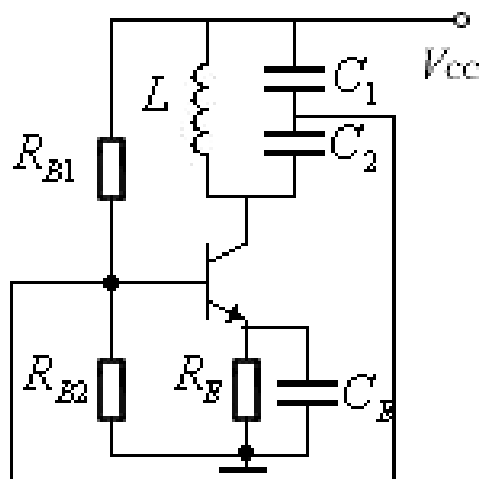
P141, 第5.14题

右图为互感耦合反馈式振荡器，画出其高频等效电路，并注明电感线圈的同名端。

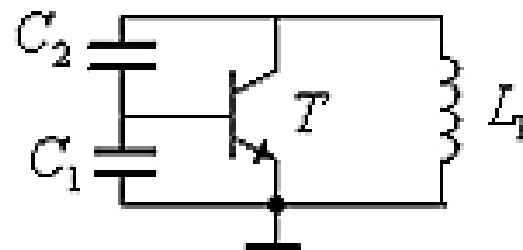


P141, 第5.15题

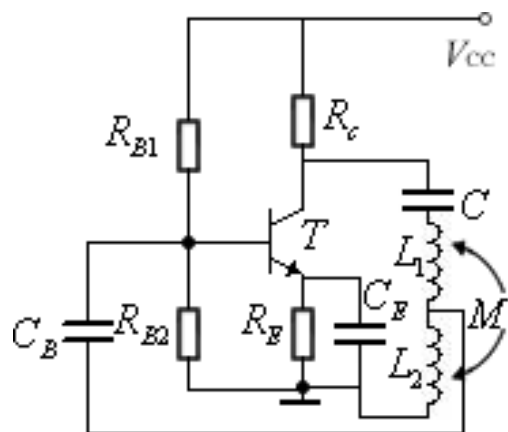
试画出各振荡器的交流通路，并判断能否产生振荡？



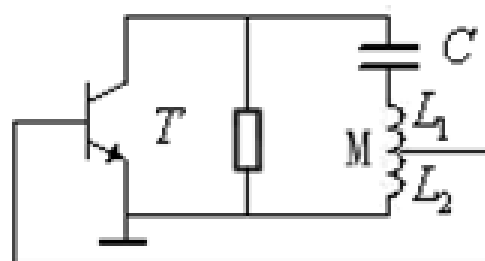
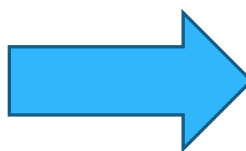
交流通路



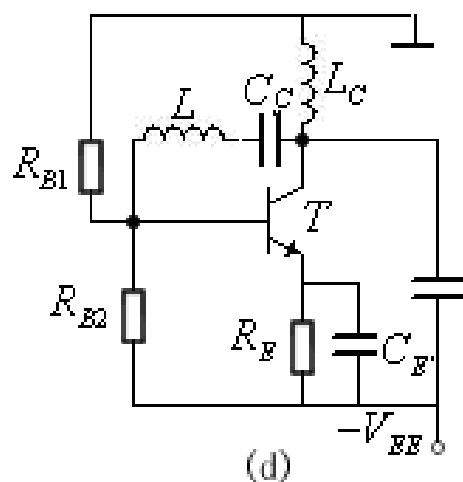
(a) 不振，不满足三点式振荡电路的组成法则



交流通路

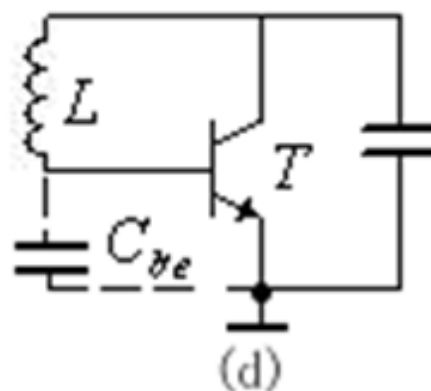
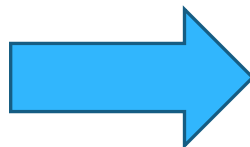


(c) **不振**，不满足三点式振荡电路的组成法则



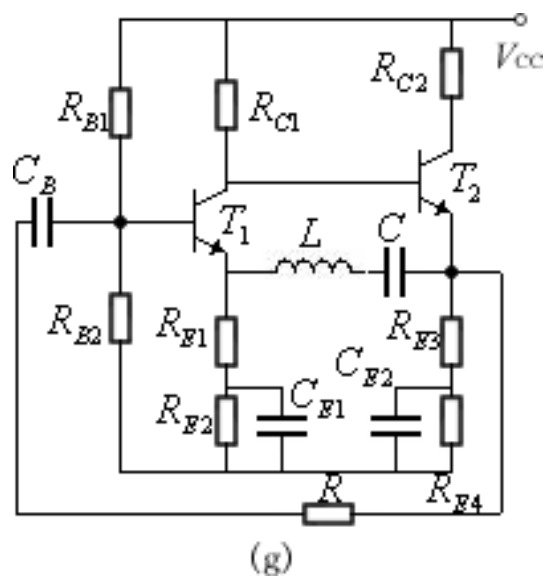
(d)

交流通路

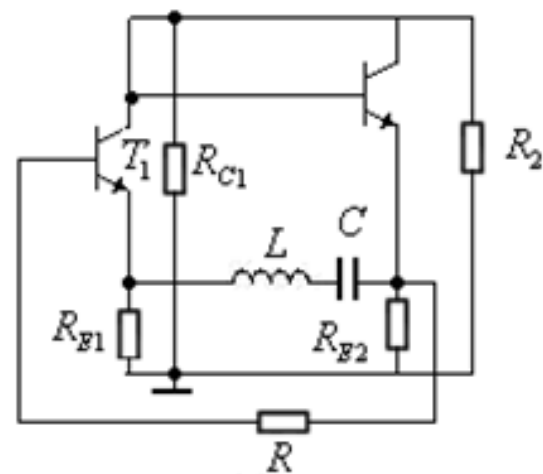
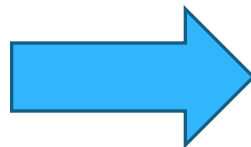


(d)

(d) **电容三点式振荡电路**



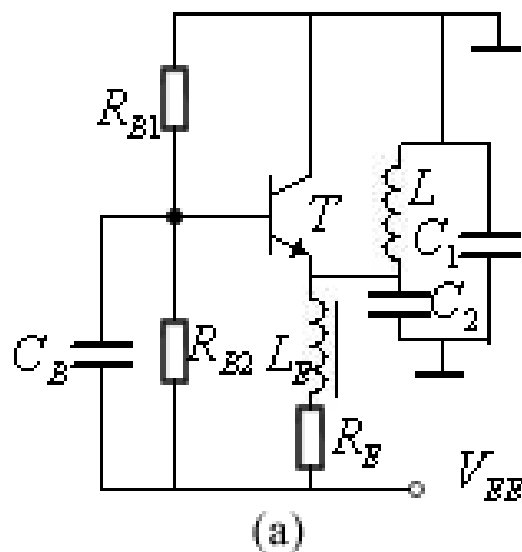
交流通路



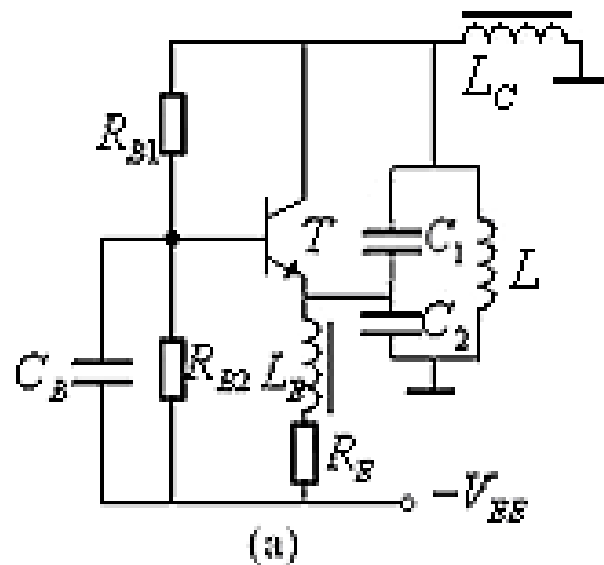
电路同时存在两种反馈，其中通过LC形成正反馈，通过R形成负反馈，串联振荡回路在其谐振频率上呈现最小的阻抗，正反馈最强，因而可以振荡。振荡频率为： $\omega_{osc} \approx \omega_0 = 1/\sqrt{LC}$

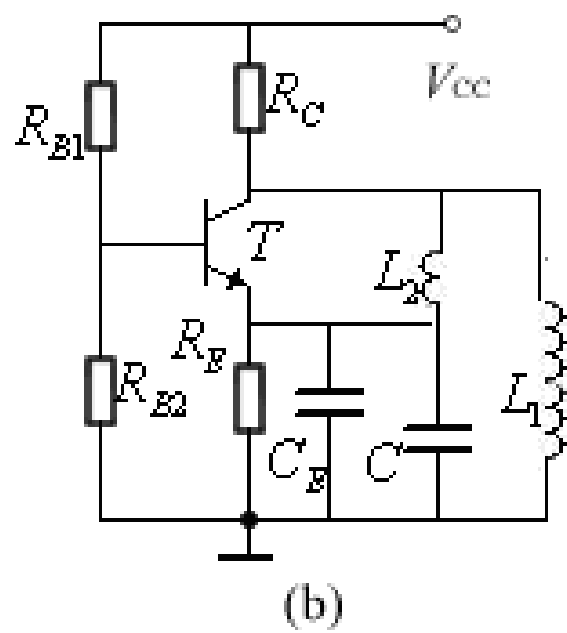
P142, 第5.16题

试改正振荡电路中的错误，并指出电路类型。

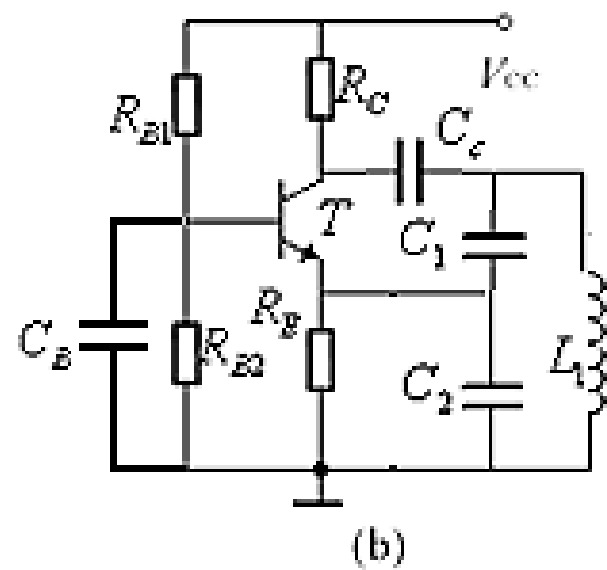


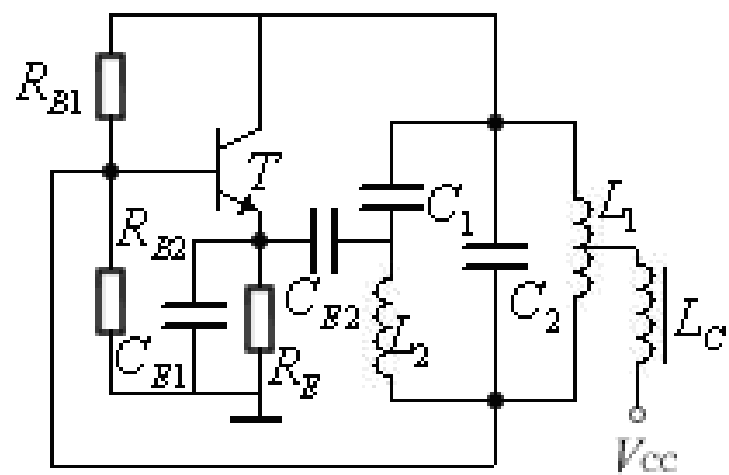
改为





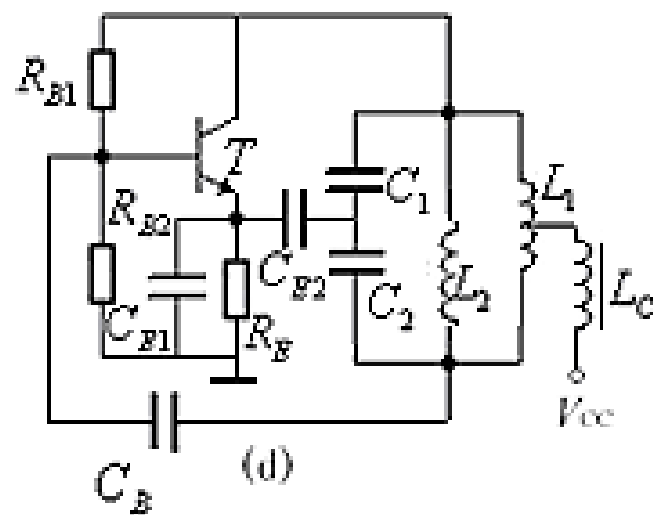
改为



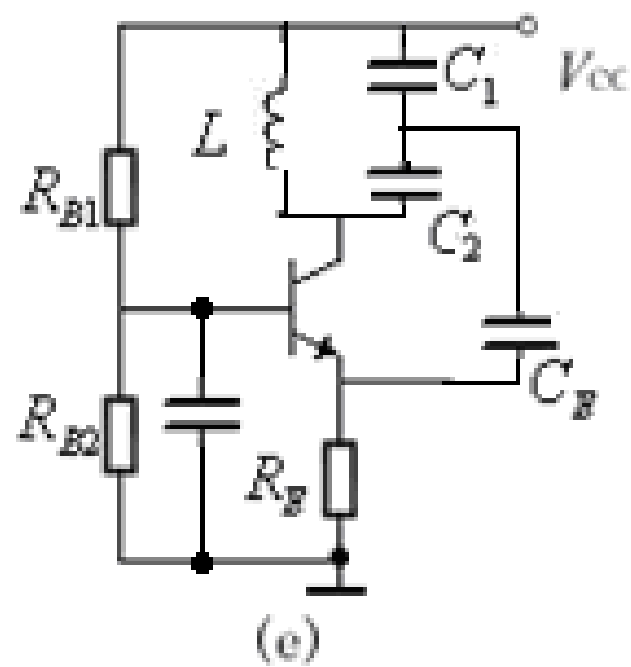
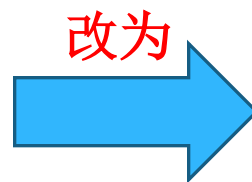
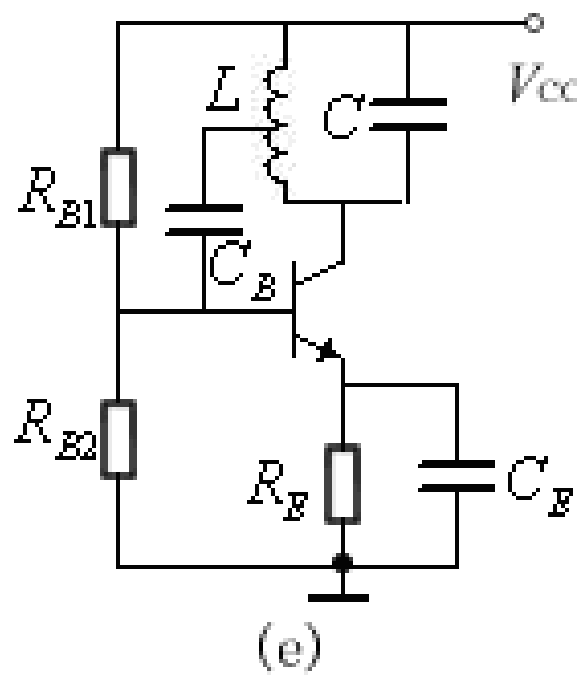


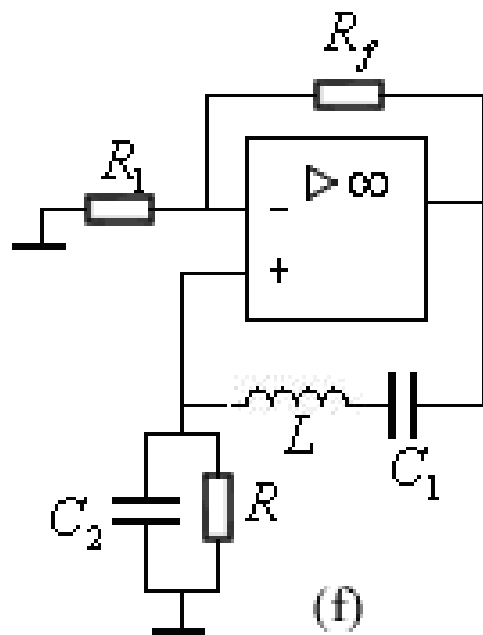
(d)

改为

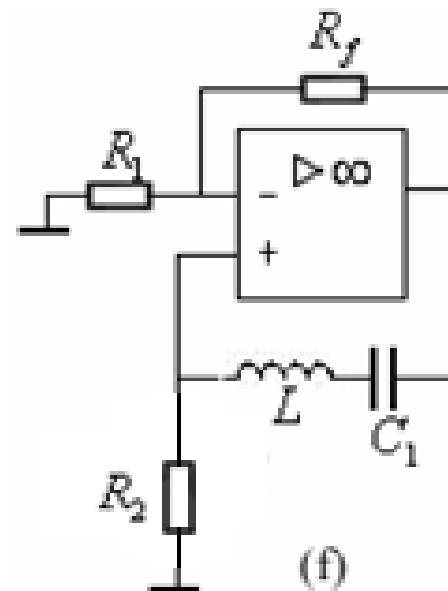
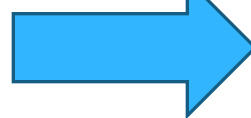


(d)



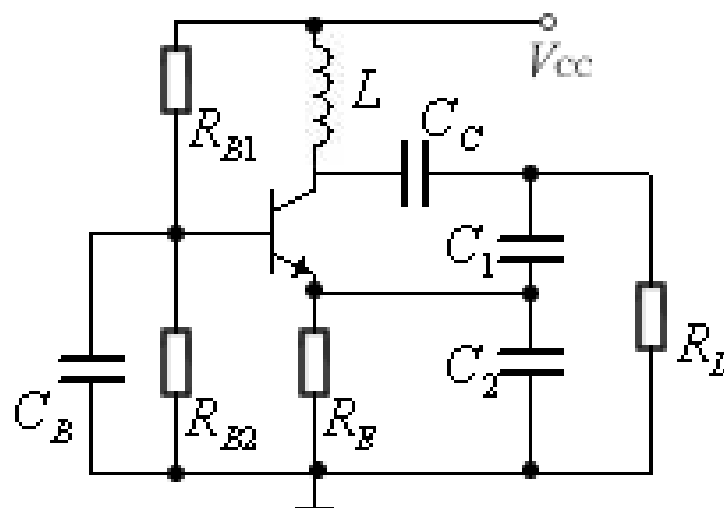


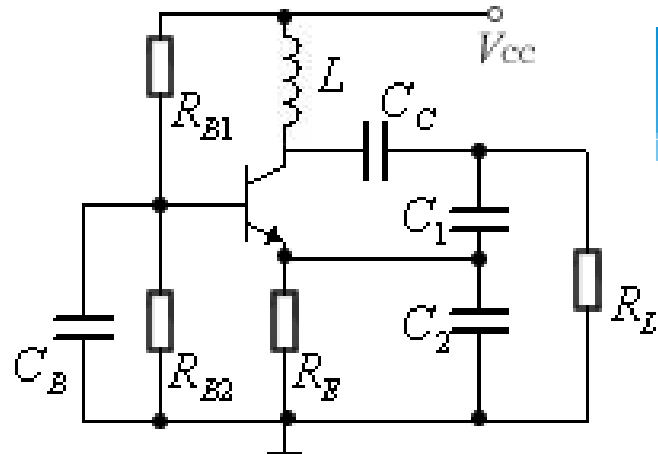
改为



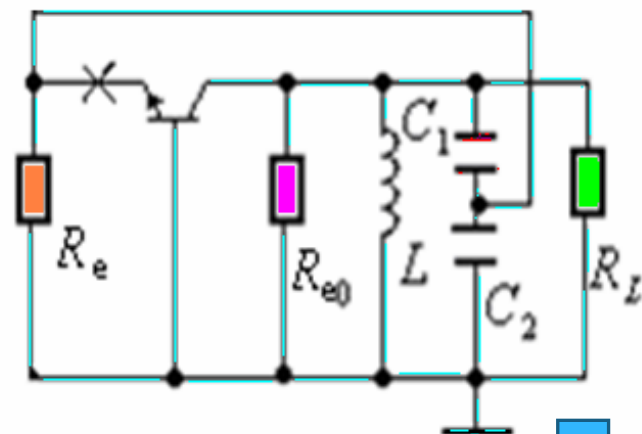
P142, 第5.17题

在题 3.12 图所示的三点式振荡电路中, 已知 $L=1.3\mu\text{H}$, $C_1=51\text{pF}$, $C_2=2000\text{pF}$, $Q_0=100$, $R_L=1\text{k}\Omega$, $R_E=500\Omega$ 。试问 I_{EQ} 应满足什么要求时振荡器才能振荡。↵

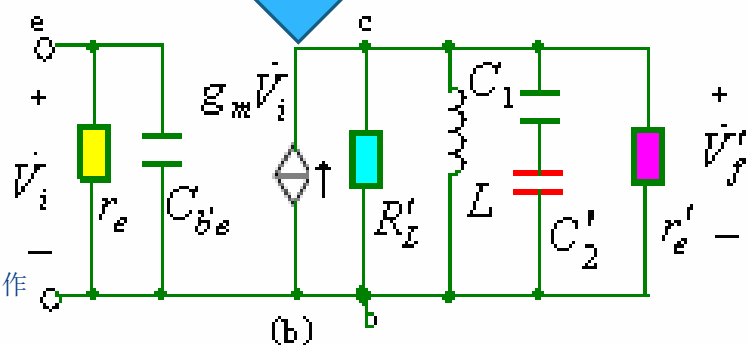
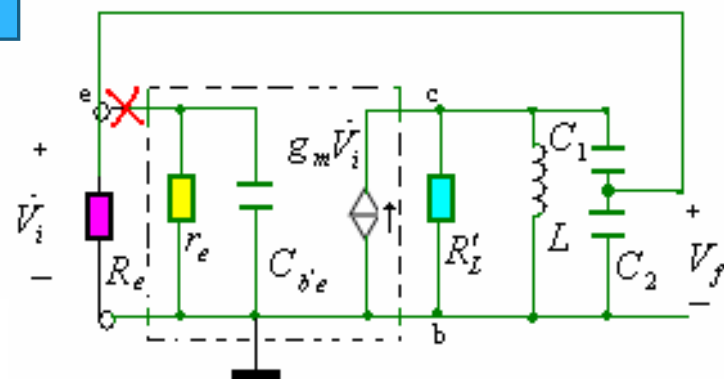
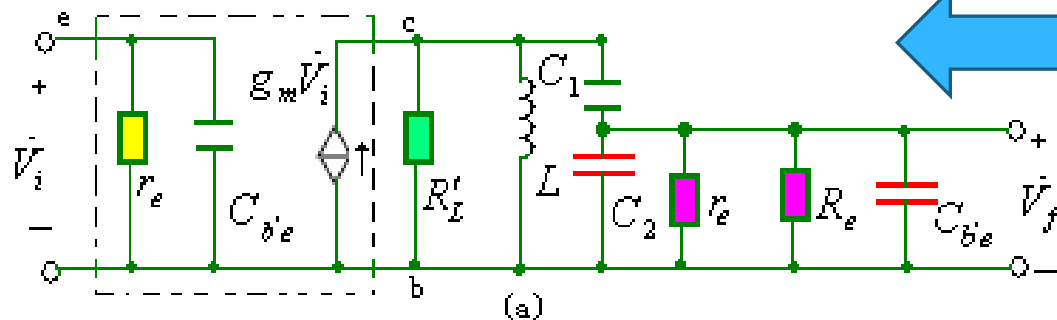




交流通路



微变等效电路



解：回路中电容为 $C_{\Sigma} = \frac{C_1 C'_2}{C_1 + C'_2} \approx C_1 = 51\text{pF}$

接入系数 $n = \frac{C_1}{C_1 + C'_2} \approx \frac{C_1}{C_2} = \frac{51}{2000} = 0.0255$

共基极电容三点式振荡器的起振条件 $g_m > \frac{1}{n} g'_L + n g_e$

其中 $g'_L = g_L + g_{eo} = \frac{1}{R_L} + \frac{1}{Q_0} \sqrt{\frac{C_{\Sigma}}{L}} = 10^{-3} + \frac{1}{100} \sqrt{\frac{51 \times 10^{-6}}{1.3}} \approx 1.06(\text{ms})$

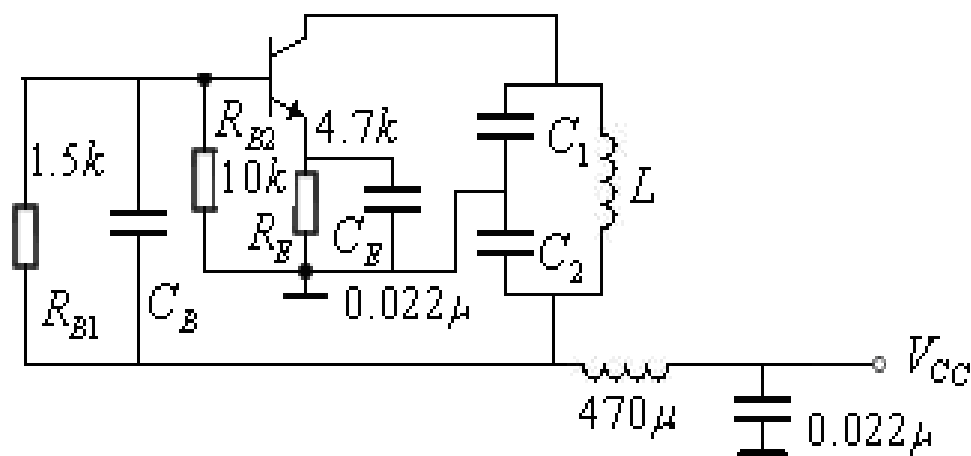
因为 $g_m \approx \frac{1}{r_e} = g_e = \frac{I_{EQ}}{26}$

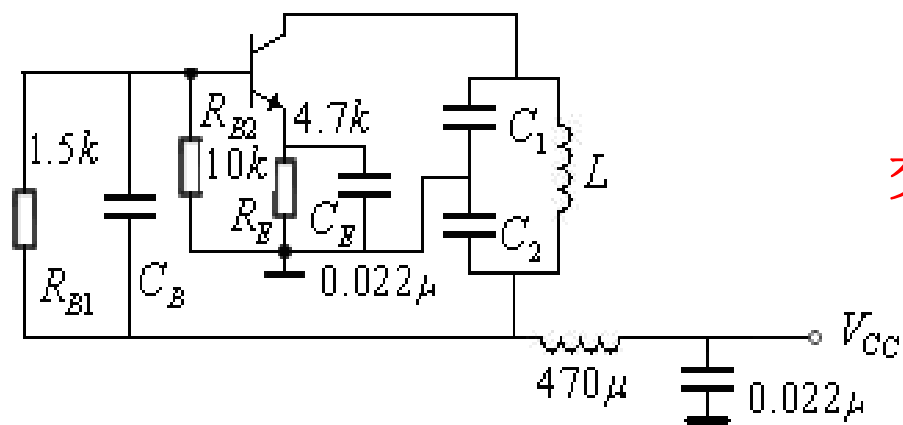
所以 $I_{EQ} > \frac{26}{1-n} \times \frac{1}{n} g'_L = \frac{26}{1-0.0255} \times \frac{1}{0.0255} \times 1.06 \times 10^{-3} \approx 1.11(\text{mA})$

P142, 第5.19题

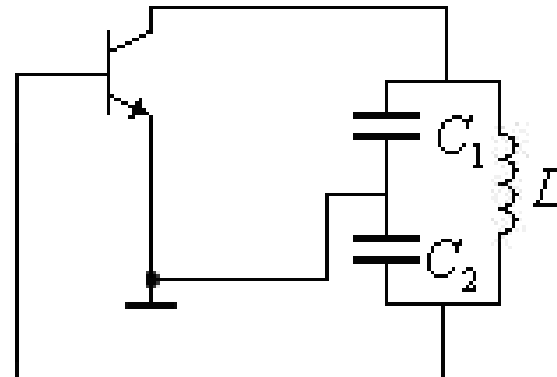
5.19 已知题 5.19 图所示的振荡器中, 晶体管在工作条件下的 y 参数为: $g_{ie} = 2\text{mS}$, $g_{oe} = 20\mu\text{S}$, $|y_{fe}| = 20.6\text{mS}$ 。回路元件参数为 $C_2 = 300\text{pF}$, $C_1 = 60\text{pF}$, $L = 5\mu\text{H}$,

- (1) 画出振荡器的共射交流等效电路; ↵
- (2) 估算振荡频率和反馈系数; ↵
- (3) 根据振幅起振条件判断该电路能否起振。↵

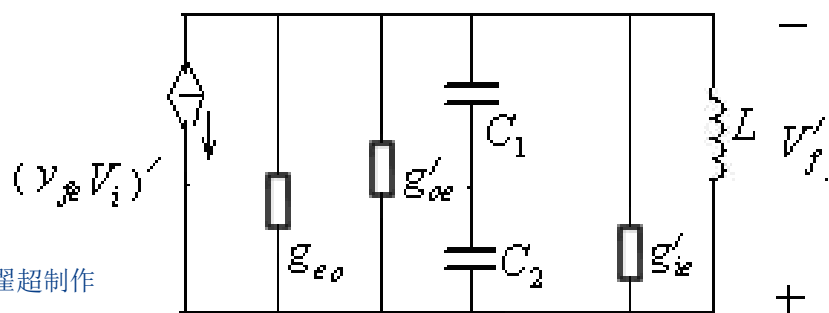
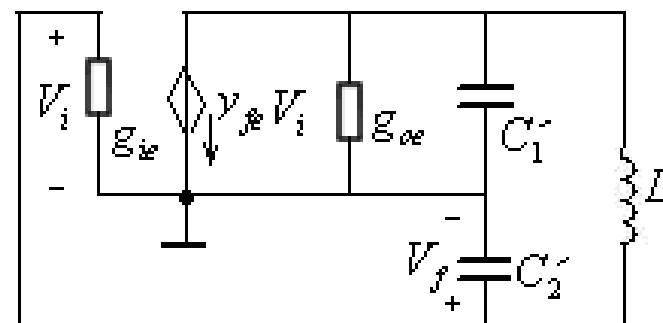
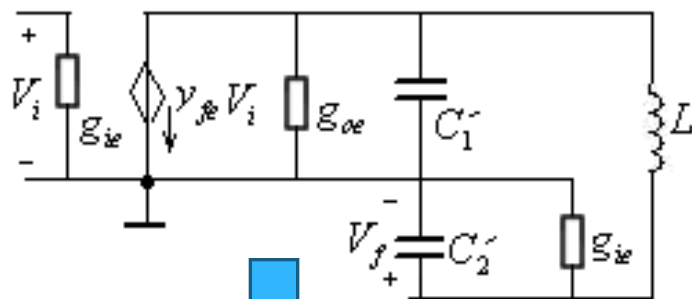




交流通路



小信号等效



(2) 振荡频率和反馈系数

$$C = \frac{C_1 C'_2}{C_1 + C'_2} \approx \frac{60 \times 300}{300 + 60} \approx 60(\text{pF})$$

振荡频率

$$f_{osc} = \frac{1}{2\pi\sqrt{LC}} = \frac{1}{6.28\sqrt{5 \times 10^{-6} \times 60 \times 10^{-12}}} = 9.19(\text{MHz})$$

反馈系数

$$k_f = \frac{C_1}{C_1 + C'_2} = \frac{1}{6}$$

(3) 是否起振?

$$n_1 = \frac{C_1}{C_1 + C_2} = \frac{60}{300 + 60} = \frac{1}{6}$$

$$n_2 = \frac{C_2}{C_1 + C_2} = \frac{300}{300 + 60} = \frac{5}{6}$$

$$g'_{ie} = n_1^2 \times g_i = n_1^2 \times (g_{ie} + \frac{1}{10}) = \frac{1}{36} \times 2.1 = 0.058ms$$

$$g'_{oe} = n_2^2 g_{oe} = \frac{25}{36} \times 20 = 13.9\mu s$$

$$\dot{V}_f' = \frac{1}{n_1} V_f = 6\dot{V}_f$$

$$(y_{fe} \dot{V}_i)' = n_2 y_{fe} \dot{V}_i$$

$$g_{eo} = \frac{1}{Q_0} \sqrt{\frac{C}{L}} = \frac{1}{100} \sqrt{\frac{60}{5}} = 0.035ms$$

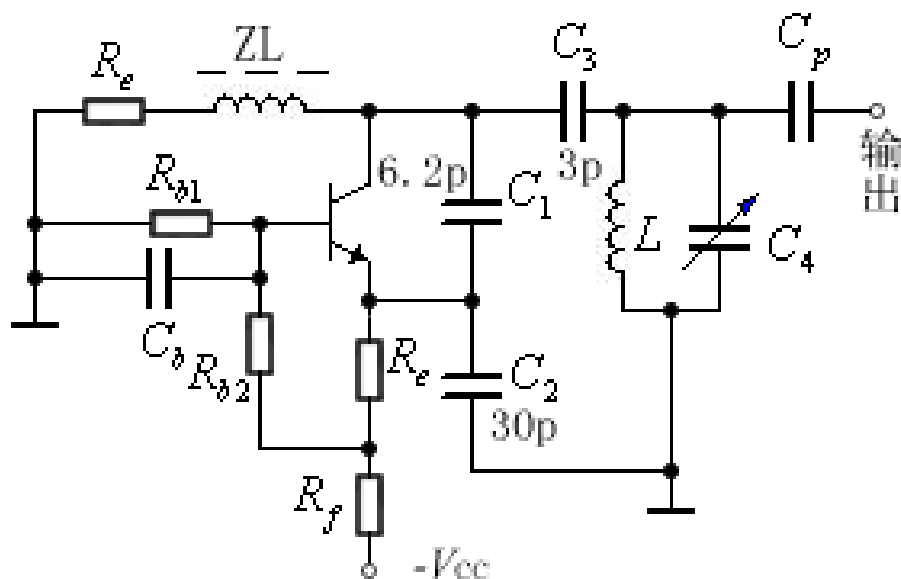
电路的起振条件为： $n_1 n_2 |y_{fe}| > g_{eo} + g'_{oe} + g'_{ie}$

$$|y_{fe}| > \frac{1}{n_1 n_2} (g_{eo} + g'_{oe} + g'_{ie}) = \frac{36}{5} (0.035 + 0.014 + 0.058) = 0.77$$

电路可以产生振荡

P144, 第5.20题

5.20 题 5.20 图所示为 LC 振荡器。(1) 试说明振荡电路各元件的作用；(2) 若当电感 $L = 1.5\mu\text{H}$, 要使振荡频率为 49.5MHz , 则 C_4 应调到何值？



振荡回路总电容

$$C_{\Sigma} = \frac{C_1 C_2 C_3}{C_1 C_2 + C_2 C_3 + C_1 C_3} + C_4 = \frac{6.2303}{6.2 \times 30 + 30 \times 3 + 3 \times 6.2} + C_4$$

因为回路谐振频率要求为49.5MHz，则

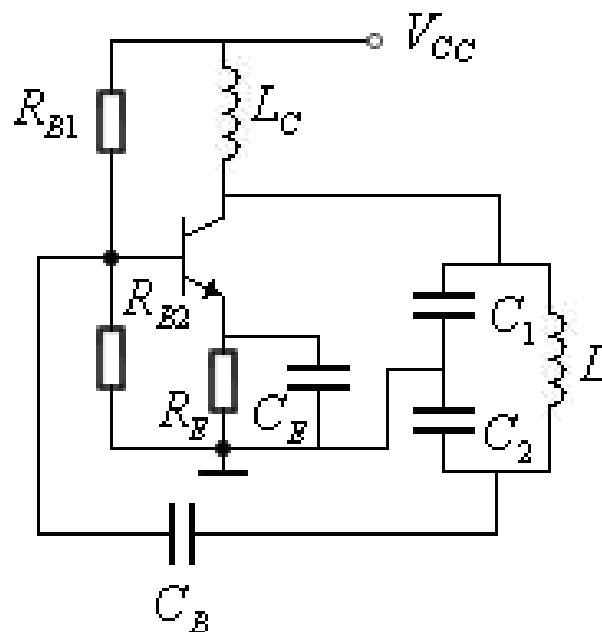
$$C_{\Sigma} = \frac{1}{(2\pi f_0)^2 L} = \frac{1}{(2\pi \times 49.5 \times 10^{-6})^2 \times 1.5 \times 10^{-6}} = 6.899 \text{pF}$$

$$\text{所以 } C_4 = C_{\Sigma} - 1.894 = 6.899 - 1.894 = 5.005 \text{pF}$$

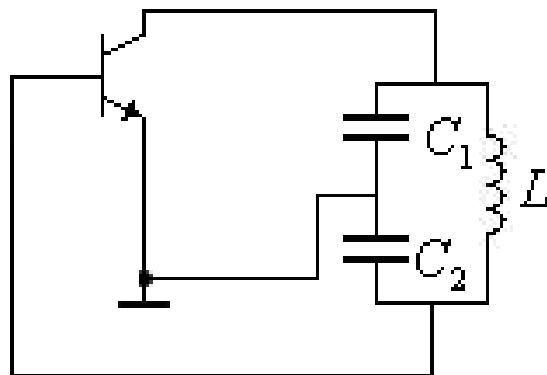
P144, 第5.21题

在电容反馈振荡电路中 $C_1 = 100\text{pF}$, $C_2 = 300\text{pF}$, $L = 50\mu\text{H}$ 。

画出电路的交流等效电路，试估算该电路的振荡频率和维持振荡所必须的最小电压放大倍数



振荡器的共射交流等效电路



振荡频率和反馈系数

$$C = \frac{C_1 C_2'}{C_1 + C_2'} \approx \frac{100 \times 300}{300 + 100} \approx 75(\text{pF})$$

振荡频率

$$f_{osc} = \frac{1}{2\pi\sqrt{LC}} = \frac{1}{6.28\sqrt{50 \times 10^{-6} \times 75 \times 10^{-12}}} = 2.6(\text{MHz})$$

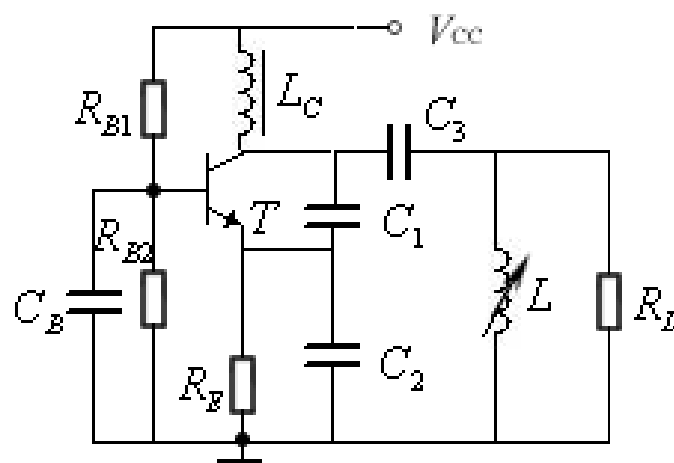
反馈系数 $k_f = \frac{C_1}{C'_2} \approx \frac{100}{300} = \frac{1}{3}$

维持振荡所必须的最小电压放大倍数

$$A_{v\min} = \frac{1}{k_f} = 3$$

P144, 第5.25题

5.25 题 5.25图所示为克拉泼振荡电路。已知 $L=2\mu\text{H}$, $C_1=1000\text{pF}$, $C_2=4000\text{pF}$, $C_3=70\text{pF}$, $Q_0=100$, $R_L=15\text{k}\Omega$, $C_{b'e}=10\text{pF}$, $R_E=500\Omega$, 试估算振荡角频率 ω_{osc} 值, 并求满足起振条件时的 $I_{EO\min}$ 。设 β 很大。



由于 $C_1 \gg C_3$, $C_2 \gg C_3$, 因而振荡角频率近似为

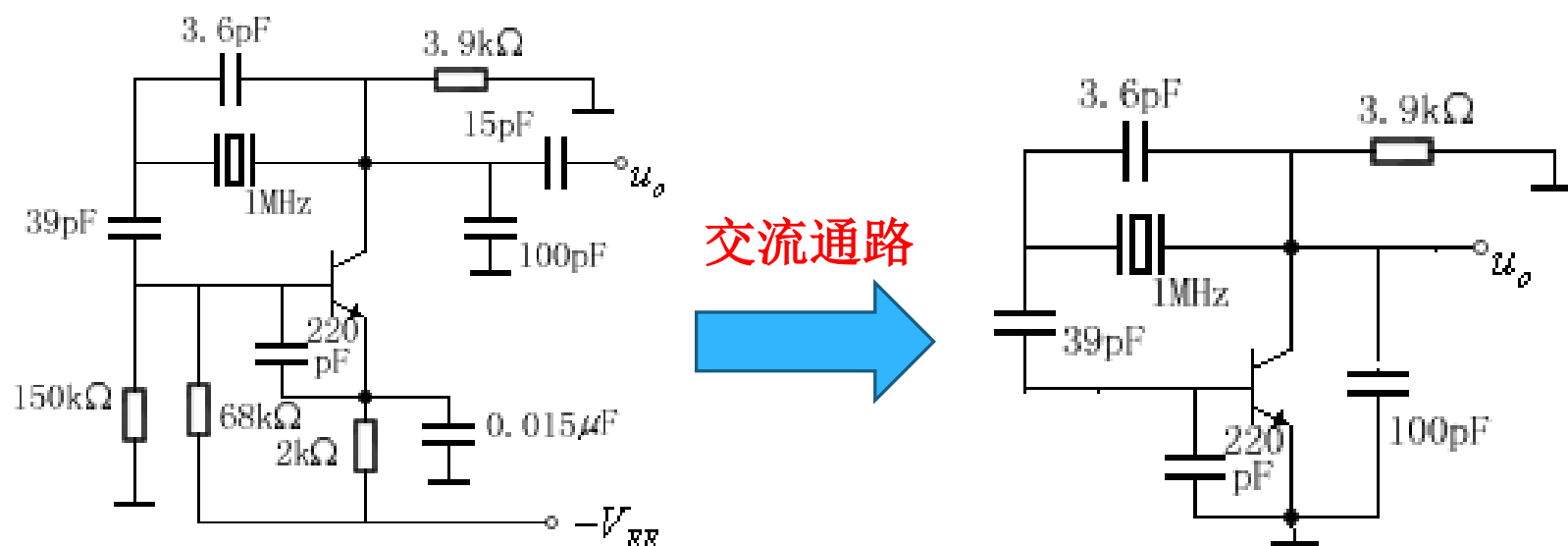
$$\omega_{osc} \approx \frac{1}{\sqrt{LC_3}} = 84.25 \times 10^6 \text{ rad} / \text{s}$$

$$R_{e0} = \omega_{osc} L Q_0 = 16.9 \text{ k}\Omega$$

下面怎么做？按照电容三点式的分析方法进行

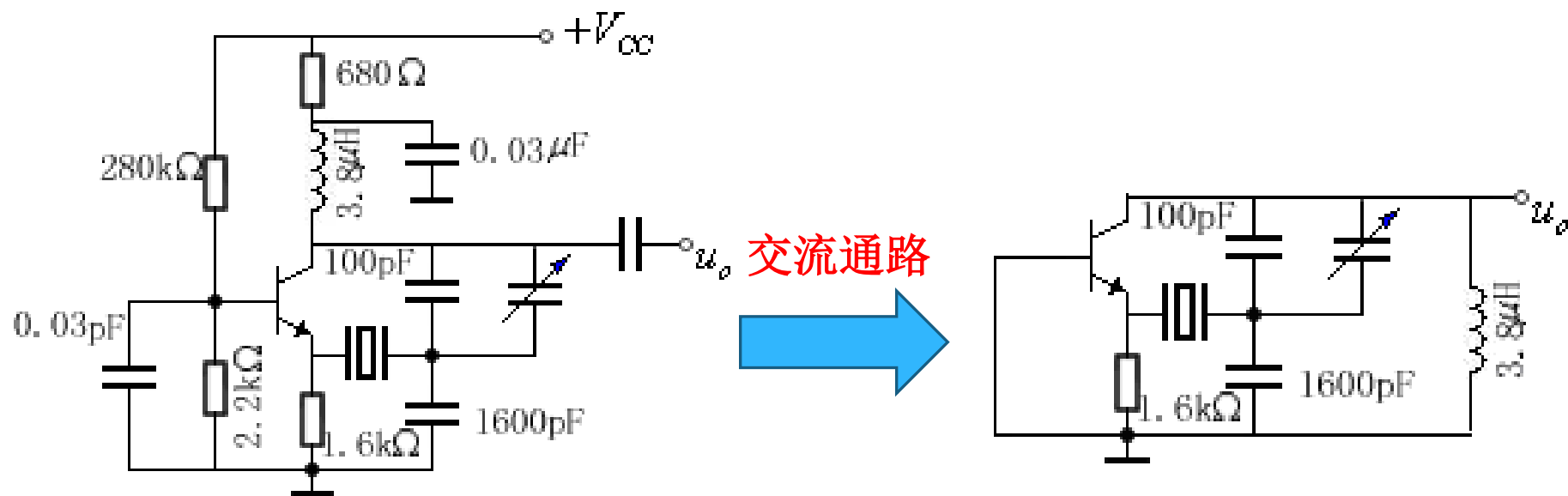
P144, 第5.30题

5.30 画出各晶体振荡器的交流通路，并指出电路类型



交流通路

皮尔斯晶振

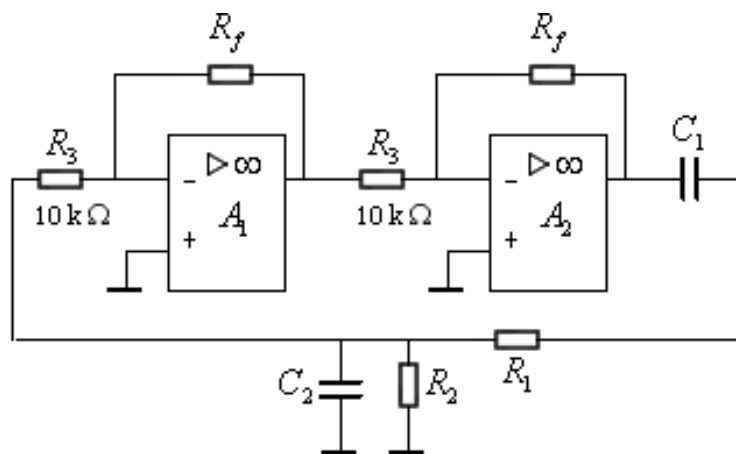


串联型晶振

P146, 第5.37题

5.37 试求题 5.37 图所示串并联移相网络振荡器的振荡角频率 ω_{osc} 及维持振荡所需 R_f

最小值 $R_{f\min}$ 的表示式。已知: $C_1 = C_2 = 0.05\mu\text{F}$, $R_1 = 5\text{k}\Omega$, $R_2 = 10\text{k}\Omega$;



解：因为RC串并联网络的传输特性为

$$k_f(j\omega) = \frac{\dot{V}_f}{\dot{V}_o} = \frac{R_2' // \frac{1}{j\omega C_2}}{R_1 + \frac{1}{j\omega C_1} + R_2' // \frac{1}{j\omega C_2}} = \frac{1}{(1 + \frac{C_2}{C_1} + \frac{R_1}{R_2'}) + j(\omega R_1 C_2 - \frac{1}{\omega R_2' C_1})}$$

根据相位平衡条件得 $\omega R_1 C_2 - \frac{1}{\omega R_2' C_1} = 0$

所以 $\omega_{osc} = \frac{1}{\sqrt{R_1 R_2' C_1 C_2}}$ $\omega_{osc} = \frac{1}{R_1 C_1} = 4 \times 10^3 \text{ rad/s}$

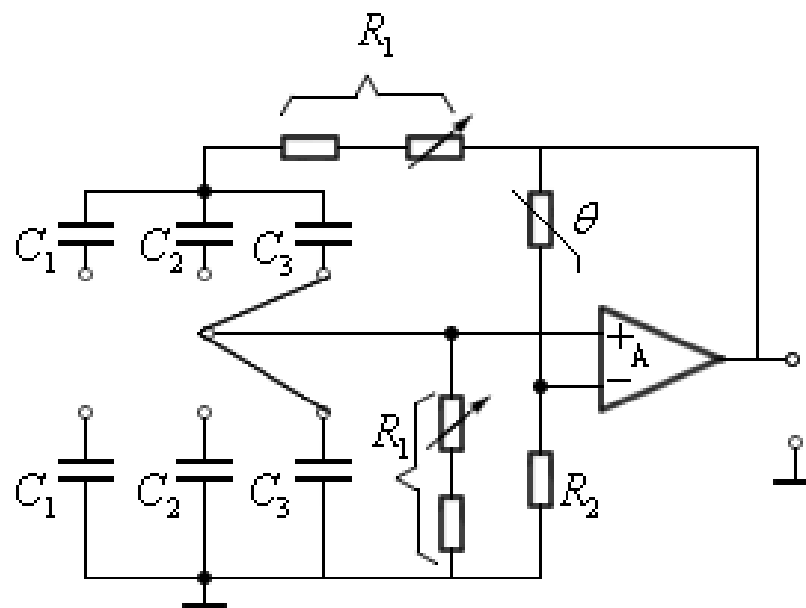
因此反馈系数 $k_f(j\omega_{osc}) = \frac{1}{1 + \frac{C_2}{C_1} + \frac{R_1}{R_2'}}$ $k_f(j\omega_{osc}) = \frac{1}{3}$

根据振幅起振条件，二反向放大器增益应大于3倍，即 $\frac{\dot{V}_o}{\dot{V}_i} = (\frac{R_{f\min}}{R_3})^2 > 3$

所以 $R_{f\min} = \sqrt{3} R_3 = 17.32 \text{ k}\Omega$

P146, 第5.38题

文氏电桥电路音频振荡器的频率范围为 $20\text{Hz} \sim 20\text{kHz}$ ，共分为三挡。如果双链可变电阻器 R_1 的阻值范围是 $1\text{k}\Omega \sim 10\text{k}\Omega$ ，试求 C_1 、 C_2 、 C_3 的值，以及每挡的频率范围。



$$f_{osc} = \frac{1}{2\pi RC}$$

$$C_1 = \frac{1}{2\pi R_{\min} f_{osc \max}} = \frac{1}{6.28 \times 10^3 \times 20 \times 10^3} = 0.00796(\mu F)$$

$$f'_{osc} = \frac{1}{2\pi R_{\max} C_1} = \frac{1}{6.28 \times 10 \times 10^3 \times 0.00796 \times 10^{-6}} \approx 2(kHz)$$

$$C_2 = \frac{1}{2\pi R_{\min} f'_{osc \max}} = \frac{1}{6.28 \times 10^3 \times 2 \times 10^3} = 0.0796(\mu F)$$

$$f''_{osc} = \frac{1}{2\pi R_{\max} C_2} = \frac{1}{6.28 \times 10 \times 10^3 \times 0.0796 \times 10^{-6}} \approx 200(Hz)$$

$$C_3 = \frac{1}{2\pi R_{\min} f_{osc \max}''} = \frac{1}{6.28 \times 10^3 \times 2 \times 10^2} = 0.796(\mu F)$$

$$f_{osc \min} = \frac{1}{2\pi R_{\max} C_3} = \frac{1}{6.28 \times 10 \times 10^3 \times 0.796 \times 10^{-6}} \approx 20(Hz)$$

每挡的频率范围为

20kHz~2kHz, 2kHz~200Hz, 200Hz~20Hz。

P218, 第6.4题

已知调制信号 $v_{\Omega}(t) = [2 \cos(2\pi \times 2 \times 10^3 t) + 3 \cos(2\pi \times 300 t)] \text{ V}$

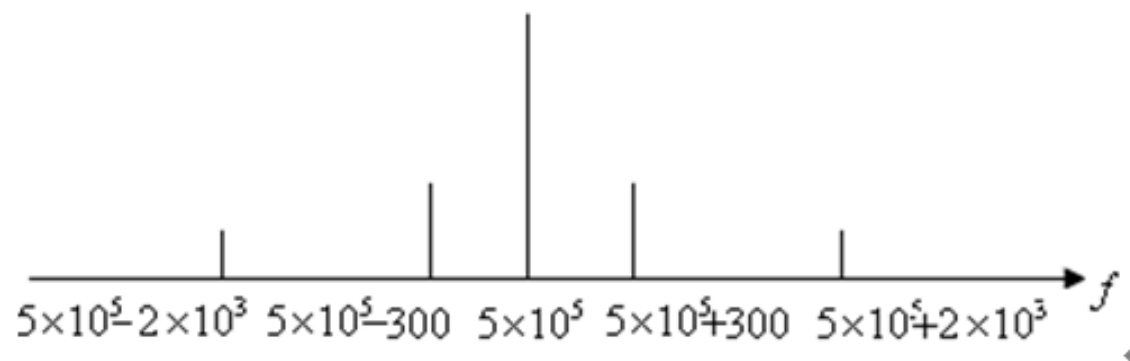
载波信号 $v_c(t) = 5 \cos(2\pi \times 5 \times 10^5 t) \text{ V}$, $k_a = 1$,

试写出调幅波的表示式, 画出频谱图, 求出频带宽度BW。

解: 调幅波的表示式:

$$\begin{aligned} v_c(t) &= [5 + k_a v_{\Omega}(t)] \cos(2\pi \times 5 \times 10^5 t) \\ &= \{5 + [2 \cos(2\pi \times 2 \times 10^3 t) + 3 \cos(2\pi \times 300 t)]\} \cos(2\pi \times 5 \times 10^5 t) \\ &= 5[1 + 0.4 \cos(2\pi \times 2 \times 10^3 t) + 0.6 \cos(2\pi \times 300 t)] \cos(2\pi \times 5 \times 10^5 t) \end{aligned}$$

频谱图



频带宽度

$$BW = 2 \times 2 \times 10^3 = 4\text{kHz}$$

P218, 第6.6题

已知调幅波表示式

$$v_{AM}(t) = \left\{ 5 \cos(2\pi \times 10^6 t) + \cos[2\pi(10^6 + 5 \times 10^3)t] + \cos[2\pi(10^6 - 5 \times 10^3)t] \right\} \text{V}$$

试求出调幅指数及频带宽度，画出调幅波波形和频谱图。

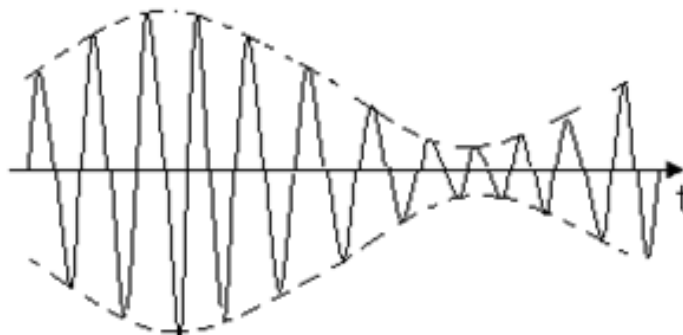
解：上式改写为

$$\begin{aligned} v_{AM}(t) &= \left\{ 5 \cos 2\pi \times 10^6 t + 2 \cos 2\pi \times 10^6 t \cos 2\pi \times 5 \times 10^3 t \right\} \\ &= 5[1 + 0.4 \cos 2\pi \times 5 \times 10^3 t] \cos 2\pi \times 10^6 t \end{aligned}$$

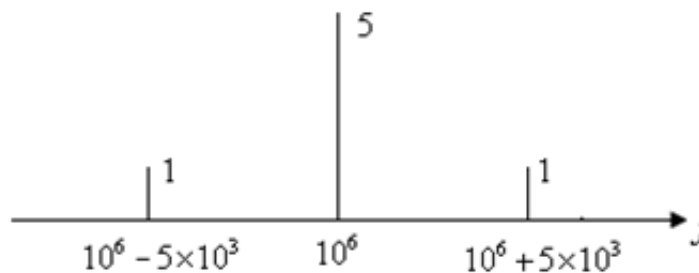
调幅指数 $M_a = 0.4$

频带宽度 $BW = 2 \times 5000 = 10\text{kHz}$

调幅波波形



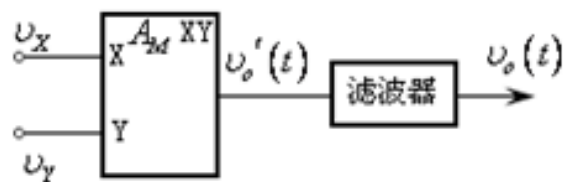
频谱图



P218, 第6.8题

电路如题6.8图 (a) 所示, 试根据 (b)、(c)、(d)所示输入信号频谱, 画出相乘器输出电压 $v_o'(t)$ 的频谱。已知参考信号频率为:

(a) 600kHz; (b) 12kHz; (c) 60 kHz;



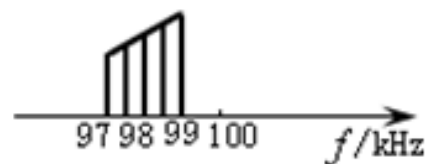
(a)



(b)



(c)

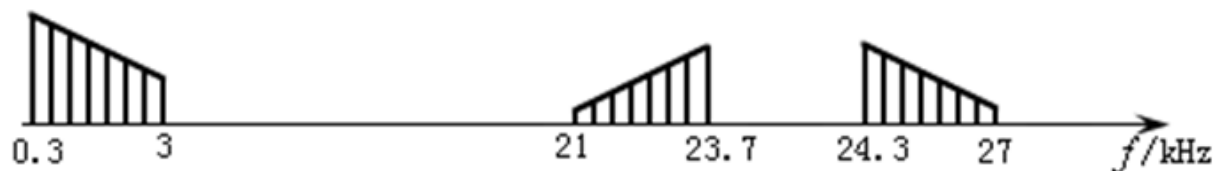


(d)

解：参考信号频率为600kHz时， $v_o'(t)$ 的频谱



参考信号频率为12kHz时， $v_o'(t)$ 的频谱

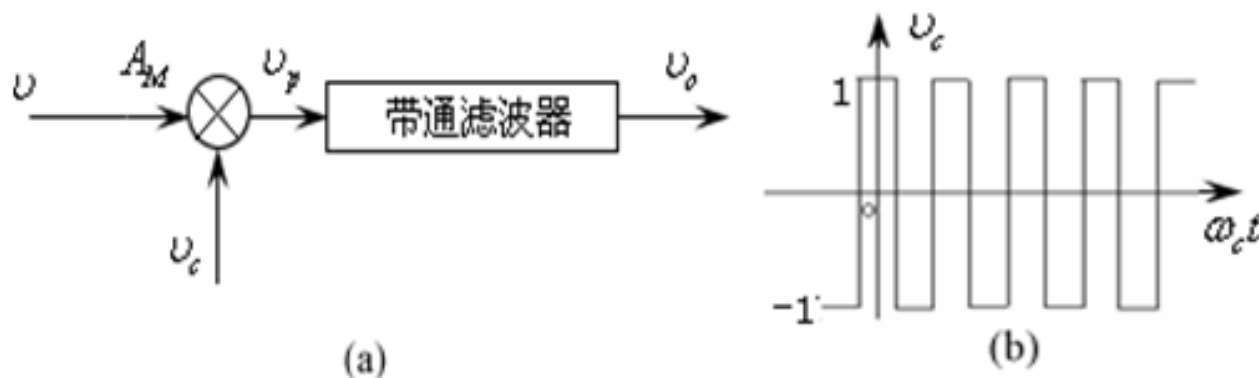


参考信号频率为60 kHz时， $v_o'(t)$ 的频谱



P219, 第6.9题

在题6.9图（a）所示电路模型中， v_c 是重复频率为 $100kHz$ 的方波信号，如图（b）所示。若将该电路模型作为下列功能的频谱搬移电路，试画出滤波器（理想）的幅频特性曲线，并写出电压 v_o 的表达式。



(1) $v = v_{\Omega} = \sum_{n=1}^{10} V_{\Omega n} \cos(2\pi n \times 300t)$ ，要求输出载频为 $300kHz$ 的 DSB 信号；↵

(2) $v = v_{AM} = V_{cm} [1 + \sum_{n=1}^{10} M_{cn} \cos(2\pi n \times 300t)] \cos(2\pi \times 100 \times 10^3 t)$ 要求输出电压不失真的反映调制信号的变化规律；↵

(3) $v = v_{DSB} = V_{cm} [\sum_{n=1}^{10} M_{cn} \cos(2\pi n \times 300t)] \cos(2\pi \times 450 \times 10^3 t)$ ，要求输出载波频率为 $50kHz$ 的双边带调制信号。↵

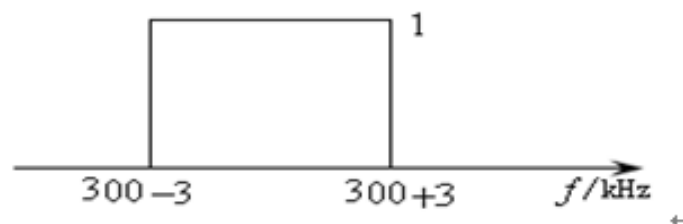
解：双向开关函数的傅立叶展开式为：

$$\begin{aligned}k_2(\omega_1 t) &= \frac{4}{\pi} \cos \omega_1 t - \frac{4}{3\pi} \cos 3\omega_1 t + \dots \\&= \sum_{n=1}^{\infty} (-1)^{n-1} \frac{4}{(2n-1)\pi} \cos(2n-1)\omega_1 t\end{aligned}$$

此处 ω_1 为 $2\pi*10^5\text{rad/s}$

(1) 当 $v = v_{\Omega} = \sum_{n=1}^{10} V_{\Omega m} \cos(2\pi n \times 300t)$ ，要求输出载频为 300kHz 的 DSB 信号时，

滤波器（理想）的幅频特性曲线为

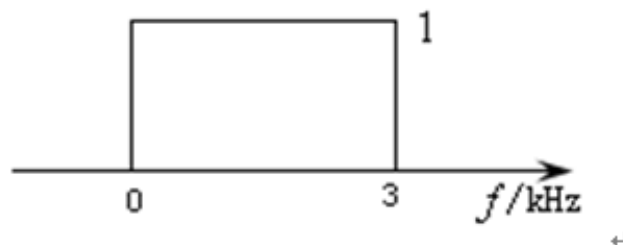


写出的电压 v_o 表达式为

$$v_o = F(A_m v_{\Omega} v_c) = -\frac{4}{3\pi} A_m \sum_{n=1}^{10} V_{\Omega m} \cos(2\pi n \times 300t) \cos(2\pi \times 3 \times 10^5 t)$$

(2) 当 $v = v_{AM} = V_{cm} [1 + \sum_{n=1}^{10} M_{cn} \cos(2\pi n \times 300t)] \cos(2\pi \times 100 \times 10^3 t)$ ，要求输出

电压不失真的反映调制信号的变化规律时，滤波器（理想）的幅频特性曲线为

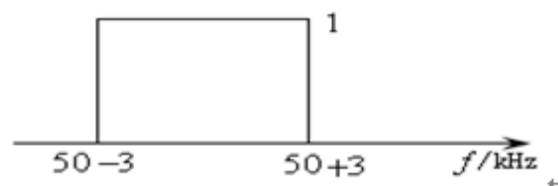


写出的电压 v_o 表达式为

$$v_o = \frac{1}{2} \times \frac{4}{\pi} A_m V_{cm} \left[1 + \sum_{n=1}^{10} M_{an} \cos(2\pi n \times 300t) \right]$$

(3) 当 $v = v_{DSB} = V_{cm} \left[\sum_{n=1}^{10} M_{an} \cos(2\pi n \times 300t) \right] \cos(2\pi \times 450 \times 10^3 t)$ ，要求输出载波

频率为 50kHz 的双边带调制信号时，滤波器（理想）的幅频特性曲线为



写出的电压 v_o 表达式为

$$v_o = \frac{4}{5\pi} \times \frac{1}{2} A_m V_{cm} \left[\sum_{n=1}^{10} M_{an} \cos(2\pi n \times 300t) \right] \cos(2\pi \times 50 \times 10^3 t)$$

P219, 第6.12题

已知负载电阻 R_L 上的电压表达式为

$$v(t) = (10 + 2.5 \cos \Omega t) \cos \omega t \quad (V)$$

$$P_o = \frac{1}{2} \frac{V_{cm}^2}{R_L}$$

$$P_{SB} = \frac{1}{2} M_a^2 P_o$$

$$P_{av} = P_o + P_{SB}$$

- 求：
- (1) 载波电压的振幅 $V_{cm} = ?$
 - (2) 已调波电压的最大振幅值 $V_{max} = ?$
 - (3) 已调波电压的最小振幅值 $V_{min} = ?$
 - (4) 调幅指数 $M_a = ?$
 - (5) 若负载电阻为 $1K\Omega$ ，计算负载上吸收的载波功率？
负载上吸收的两个边频功率之和？

P220, 第6.23题

一非线性器件的伏安特性为
$$i = \begin{cases} g_D v & (v > 0) \\ 0 & (v \leq 0) \end{cases}$$

式中 $v = V_Q + v_1 + v_2 = V_Q + V_{1m} \cos \omega_1 t + V_{2m} \cos \omega_2 t$ 。若 V_{2m} 很小, 满足线性时变条件, 则在 $V_Q = -V_{1m}/2$ 、 0 、 V_{1m} 三种情况下, 画出 $g(v_1)$ 波形, 并求出时变增量电导 $g(v_1)$ 的表达式, 分析该器件在什么条件下能实现振幅调制、解调和混频等频谱搬移功能。

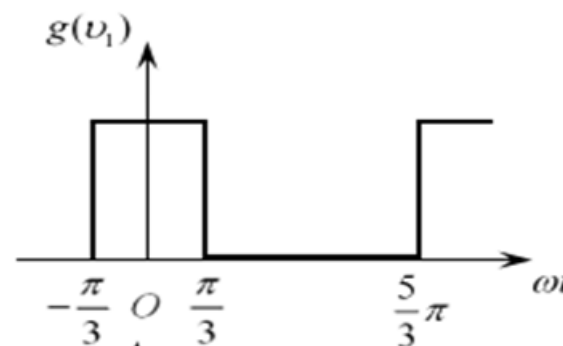
(1) $V_Q = -\frac{1}{2}V_{1m}$ 时, 画出 $g(t)$ 波形如入 (c) 所示, 图中通角由 $\cos \theta = \frac{\frac{1}{2}V_m}{V_m} = \frac{1}{2}$,

求得 $\theta = \frac{\pi}{3}$ ◀

$$g_0 = \frac{1}{2\pi} \int_{-\pi/3}^{\pi/3} g_D d\omega t = \frac{1}{3} g_D \quad \leftarrow$$

$$g_n = \frac{1}{\pi} \int_{-\pi/3}^{\pi/3} g_D \cos n\omega t = \frac{2g_D}{n\pi} \sin\left(\frac{n\pi}{3}\right),$$

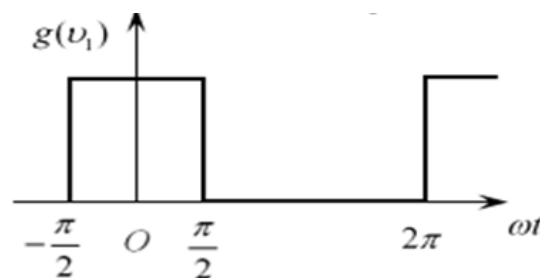
$$g(t) = \frac{1}{3} g_D + \frac{2g_D}{\pi} \sum_{n=1}^{\infty} \frac{1}{n} \sin\left(\frac{n\pi}{3}\right) \cos n\omega_1 t \quad \leftarrow$$



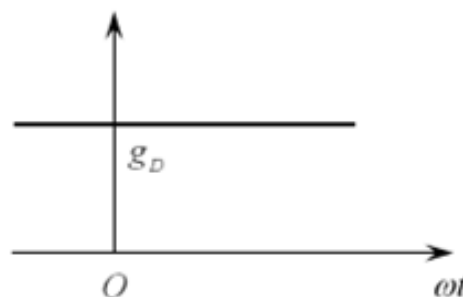
(2) $V_Q = 0$ 时, 画出的 $g(v)$ 波形如图 (b) 所示。

$$g(t) = g_D K_1(\omega_1 t) = g_D \left(\frac{1}{2} + \frac{2}{\pi} \cos \omega_1 t - \frac{2}{3\pi} \cos 3\omega_1 t + \dots \right)$$

$$= g_D \left[\frac{1}{2} + \sum_{n=1}^{\infty} (-1)^{n-1} \frac{2}{(2n-1)\pi} \cos(2n-1)\omega_1 t \right]$$

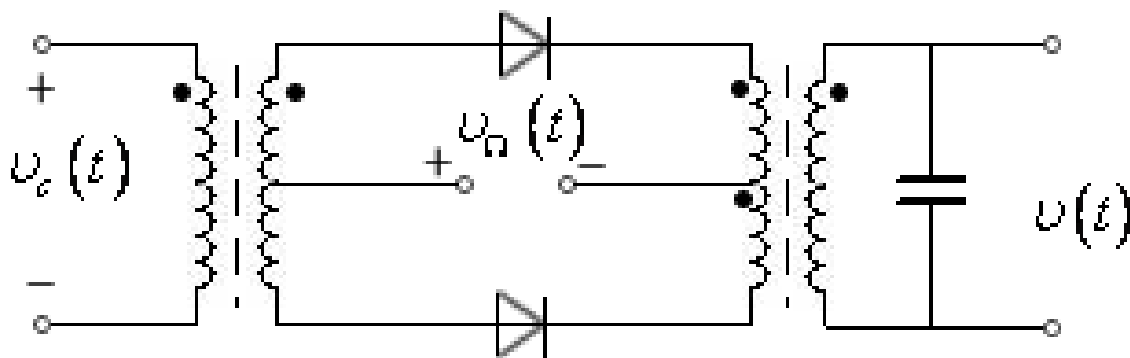


(3) $V_Q = V_{1m}$, $g(t) = g_D$, 如图 (e) 所示。



P223, 第6.32题

二极管平衡调幅电路如题 6.32 图所示。如图 $v_c(t)$ 及 $v_\Omega(t)$ 的注入位置如图中所示，其中载波信号 $v_c(t) = V_{cm} \cos \omega_c t$ ，调制信号 $v_\Omega(t) = V_{\Omega m} \cos \Omega t$ ， V_{cm} 足够大使二极管工作于开关状态，求 $v(t)$ 的表达式（输出调谐回路中心频率为 ω_c 通频带为 2Ω ）。



解：由于 $v_c(t)$ 为大信号， D_1 的开关函数为 $K(\omega_c t)$ ，而 D_2 的开关函数为 $K(\omega_c t - \pi)$ 。由下图所示电流流向，可得

$$i_1 = \frac{1}{r_d + R'_L} K(\omega_c t) \cdot [v_c(t) + v_\Omega(t)]$$

$$i_2 = \frac{1}{r_d + R'_L} K(\omega_c t - \pi) \cdot [v_\Omega(t) - v_c(t)]$$

其中， R'_L 表示次级等效电阻反射到初级的等效负载电阻。

对于次级回路电流来说（不考虑滤波作用），则

$$i = i_1 - i_2$$

$$= \frac{1}{r_d + R'_L} v_\Omega(t) [K(\omega_c t) - K(\omega_c t - \pi)] + \frac{1}{r_d + R'_L} v_c(t) [K(\omega_c t) + K(\omega_c t - \pi)]$$

$$= \frac{1}{r_d + R'_L} V_{\Omega m} \cos \Omega t \left[\frac{4}{\pi} \cos \omega_c t - \frac{4}{3\pi} \cos 3\omega_c t + \dots \right] + \frac{1}{r_d + R'_L} V_{cm} \cos \omega_c t$$

经次级带通滤波器（中心频率 ω_c 、带通宽度为 2Ω ），取出输出电压

$$v(t) = \frac{R_L}{r_d + R'_L} \left[\frac{2}{\pi} V_{\Omega m} \cos(\omega_c + \Omega)t + \frac{2}{\pi} V_{\Omega m} \cos(\omega_c - \Omega)t + V_{cm} \cos(\omega_c t) \right]$$

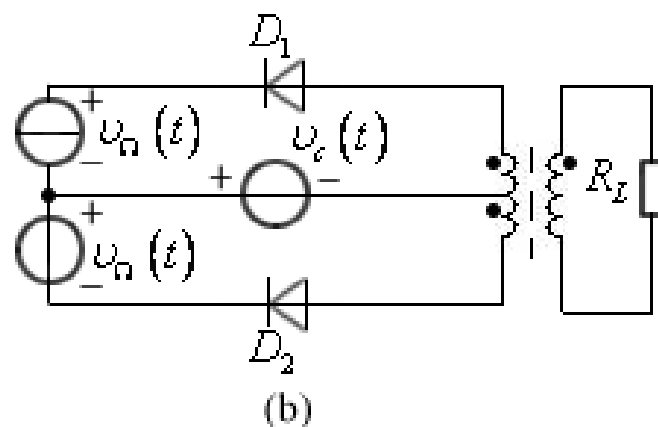
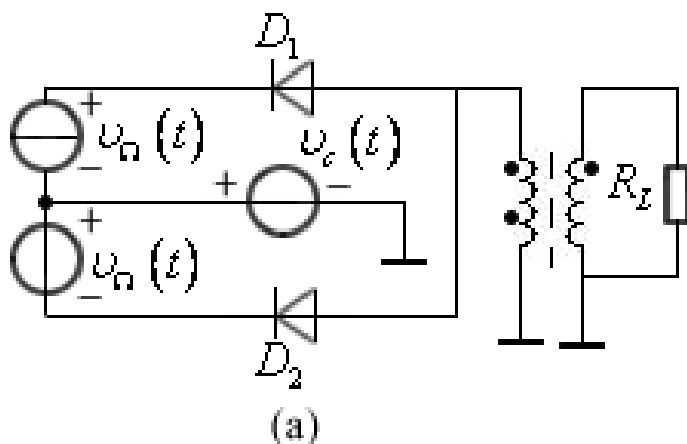
此时中含有 ω_c 、 $\omega_c \pm \Omega$ ，为普通调幅波，即此电路不能实现双边带调幅。

R_L 为变压器次级等效电阻

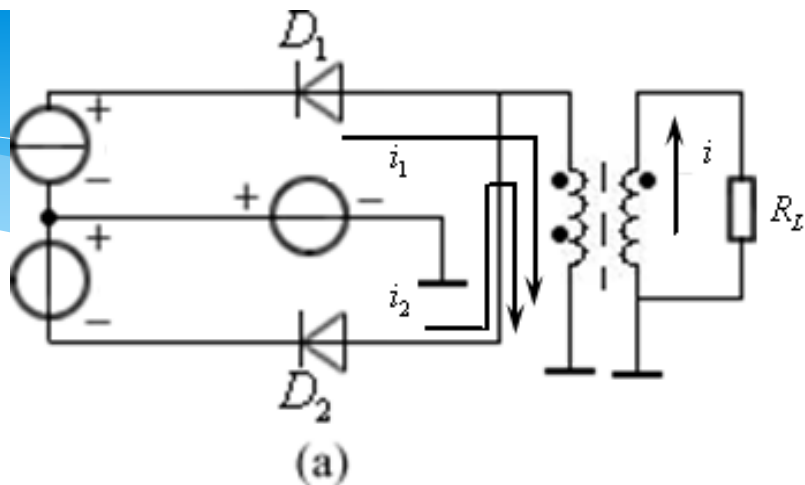
P223, 第6.33题

调制信号 $v_{\Omega}(t) = V_{\Omega m} \cos \Omega t$, 载波信号 $v_c(t) = V_{cm} \cos \omega_c t$, 并且 $V_{cm} \gg V_{\Omega m}$, $\omega_c \gg \Omega$,

二极管特性相同, 均从原点出发, 斜率为 g_d 的直线, 试问图中电路能否实现双边带调幅? 为什么?



对于图(a)来说, 在大信号 $v_c(t)$ 作用下,
 D_1 D_2 的开关函数均为 $K(\omega_c t - \pi)$ 。假设
 其电流向如图解(a)中所示, 则



$$i_1 = \frac{1}{r_d + R'_L} K(\omega_c t - \pi) [v_c(t) + v_\Omega(t)]$$

$$i_2 = \frac{1}{r_d + R'_L} K(\omega_c t - \pi) [v_c(t) - v_\Omega(t)]$$

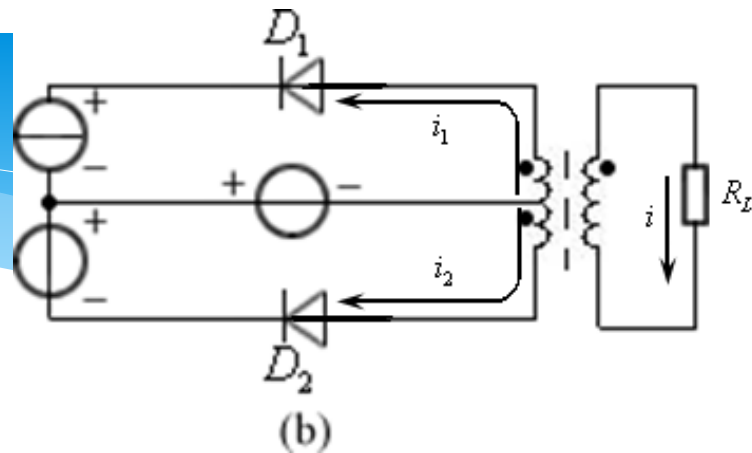
次级回路电流 $i = i_1 + i_2$

$$i = \frac{2}{r_d + R'_L} v_c(t) K(\omega_c t - \pi)$$

$$= \frac{2}{r_d + R'_L} \left[\frac{1}{2} - \frac{2}{\pi} \cos \omega_c t + \frac{2}{3\pi} \cos 3\omega_c t - \dots \right] V_{cm} \cos \omega_c t$$

可见 i 中含有 ω_c $2\omega_c$
 $4\omega_c$ 等频率分量
 因不含 $\omega_c \pm \Omega$ 项,
 故不能实现调幅

对于图(b)来说, 在大信号 $v_c(t)$ 作用下,
 D_1 D_2 的开关函数均为 $K(\omega_c t - \pi)$ 。假设
 其电流向如图解(b)中所示, 则



可见 i 中含有 Ω $\omega_c \pm \Omega$
 $3\omega_c \pm \Omega$ 等频率分量
 若采用中心频率为 ω_c ,
 带宽为 2Ω 的带通滤波器,
 则可实现双边带调幅。

$$i_1 = \frac{1}{r_d + R'_L} K(\omega_c t - \pi) [-v_c(t) - v_\Omega(t)]$$

$$i_2 = \frac{1}{r_d + R'_L} K(\omega_c t - \pi) [-v_c(t) + v_\Omega(t)]$$

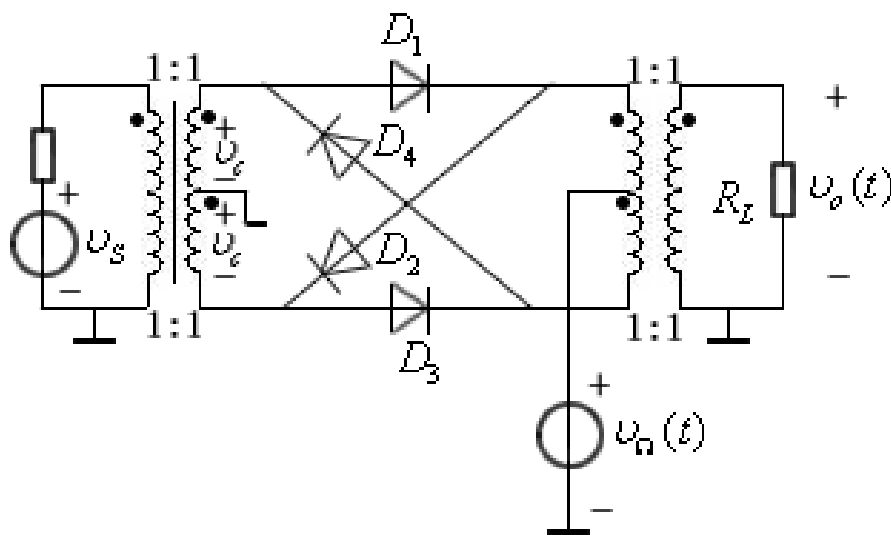
次级回路电流 $i = i_2 - i_1$

$$i = \frac{2}{r_d + R'_L} v_\Omega(t) K(\omega_c t - \pi)$$

$$= \frac{2}{r_d + R'_L} \left[\frac{1}{2} - \frac{2}{\pi} \cos \omega_c t + \frac{2}{3\pi} \cos 3\omega_c t - \dots \right] V_{\Omega m} \cos \Omega t$$

P223, 第6.34题

采用双平衡混频组件作为振幅调制器，如题 6.34 图所示。图中 $v_c(t) = V_{cm} \cos \omega_c t$ ， $v_\Omega(t) = V_{\Omega m} \cos \Omega t$ 。各二极管正向导通电阻为 R_D ，且工作在受 $v_c(t)$ 控制的开关状态。设 $R_L \gg R_D$ ，试求输出电压 $v_o(t)$ 表达式。



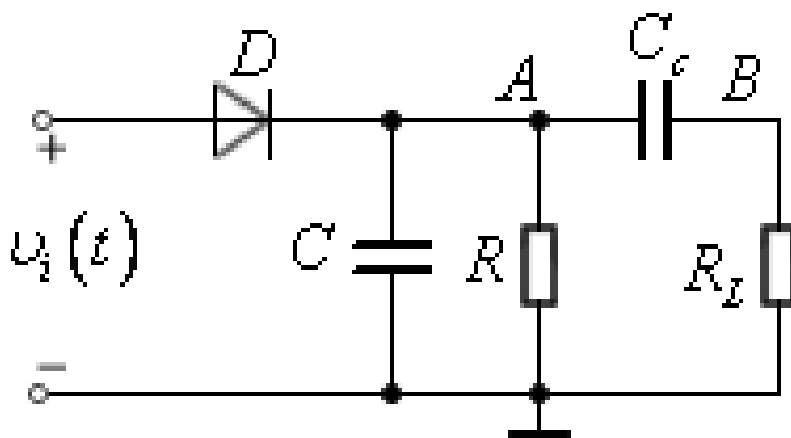
$$i_I = i_1 - i_2 = \frac{-2v_\Omega(t)}{2R_L + R_D} K_1(\omega_c t) \quad i_{II} = i_3 - i_4 = \frac{-2v_\Omega(t)}{2R_L + R_D} K_1(\omega_c t - \pi)$$

$$i = i_I - i_{II} = \frac{-2v_\Omega(t)}{2R_L + R_D} [K_1(\omega_c t) - K_1(\omega_c t - \pi)] = \frac{-2v_\Omega(t)}{2R_L + R_D} K_2(\omega_c t).$$

$$v_O(t) = \frac{-2R_L}{2R_L + R_D} v_\Omega(t) K_2(\omega_c t) \approx -v_\Omega(t) K_2(\omega_c t).$$

P223, 第6.35题

二极管检波器如题 6.35 图所示。已知二极管的导通电阻 $R_D = 60\ \Omega$ ， $V_{D(on)} = 0$ ， $R = 5\text{k}\Omega$ ， $R_L = 10\text{k}\Omega$ ， $C = 0.01\ \mu\text{F}$ ， $C_c = 20\ \mu\text{F}$ ，输入调幅波的载波频率为 465kHz ，调制信号频率为 5kHz ，调幅波振幅的最大值为 20V ，最小值为 5V ，试求：(1) v_A 、 v_B ；(2) 能否产生惰性失真和负峰切割失真。



解：根据题意 $V_{\max} = V_{im}(1 + M_a) = 20V$, $V_{\min} = V_{im}(1 - M_a)$ ，则↵

$$M_a = \frac{V_{\max} - V_{\min}}{V_{\max} + V_{\min}} = \frac{20 - 5}{20 + 5} = 0.6 \text{ ↵}$$

$$V_{im} = \frac{V_{\max} - V_{\min}}{1 + M_a} = \frac{20}{1 + 0.6} = 12.5V \text{ ↵}$$

可得输入信号电压↵

$$v_i(t) = 12.5(1 + 0.6 \cos 10\pi \times 10^3 t) \cos 2\pi \times 465 \times 10^3 t V.$$

(1) 求 v_A 、 v_B

$$\theta = \sqrt[3]{\frac{3\pi r_d}{R}} = \sqrt[3]{\frac{3\pi \times 60}{5000}} = 0.484 \text{ rad}$$

$$\eta_d = \cos \theta = 0.885$$

$$\begin{aligned} v_A &= \eta_d \times 12.5(1 + 0.6 \cos 10\pi \times 10^3 t) \\ &= 11.06(1 + 0.6 \cos 10\pi \times 10^3 t) \quad V \end{aligned}$$

$$v_B = 6.64 \cos(10\pi \times 10^3 t) \quad V$$

(2) 不产生惰性失真的条件是 $RC\Omega \leq \frac{\sqrt{1-M_a^2}}{M_a}$ ♪

$$RC\Omega = 5 \times 10^3 \times 0.01 \times 10^{-6} \times 10\pi \times 10^3 = 1.57 \text{ ♪}$$

$$\frac{\sqrt{1-M_a^2}}{M_a} = \frac{\sqrt{1-0.6^2}}{0.6} = 1.33 \text{ ♪}$$

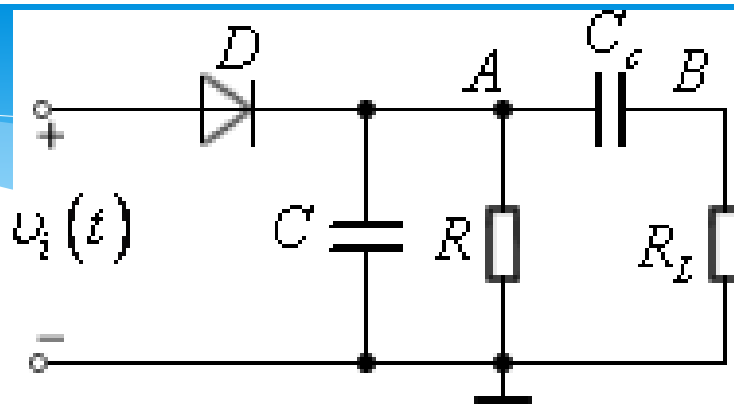
$$RC\Omega > \frac{\sqrt{1-M_a^2}}{M_a} \quad \text{产生惰性失真。} \text{ ♪}$$

不产生负峰切割失真的条件是 $M_a \leq \frac{R_\Omega}{R}$, ♪

$$\frac{R_\Omega}{R} = \frac{R_L}{R + R_L} = \frac{10}{5 + 10} = 0.666 \text{ ♪}$$

$$M_a \leq \frac{R_\Omega}{R} \quad \text{不产生负峰切割失真。} \text{ ♪}$$

P223, 第6.36题



6.36 二极管检波电路仍如题 6.36 图所示。电路参数与题 6.35 相同，只是 R_L 改为 $5\text{k}\Omega$ ，输入信号电压

$$v_i(t) = 1.2 \cos(2\pi \times 465 \times 10^3 t) + 0.36 \cos(2\pi \times 462 \times 10^3 t) + 0.36 \cos(2\pi \times 468 \times 10^3 t) \text{ V}$$

试求：(1) 调幅指数 M_a ，调制信号频率 F ，调幅波的数学表达式；

(2) 试问能否产生惰性失真和负峰切割失真？

(3) $v_A = ?$ $v_B = ?$ 画 A、B 点的瞬时电压波形图。

解：（1）因为 ω

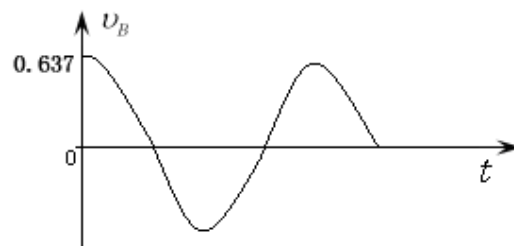
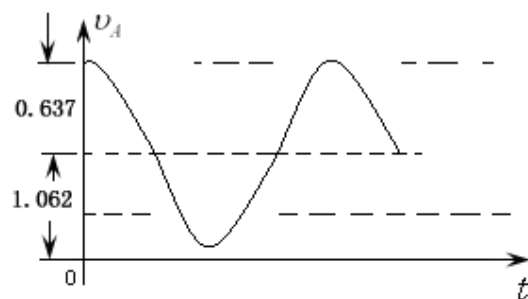
$$\begin{aligned}v_i(t) &= V_{im}(1 + M_a \cos \Omega t) \cos \omega_i t \\&= V_{im} \cos \omega_i t + \frac{1}{2} M_a V_{im} \cos(\omega_i + \Omega)t + \frac{1}{2} M_a V_{im} \cos(\omega_i - \Omega)t\end{aligned}$$

所以 ω

$$V_{im}=1.2V, \quad M_a=0.6, \quad F=3KHz, \quad f_c=465KHz$$

数学表达式 ω

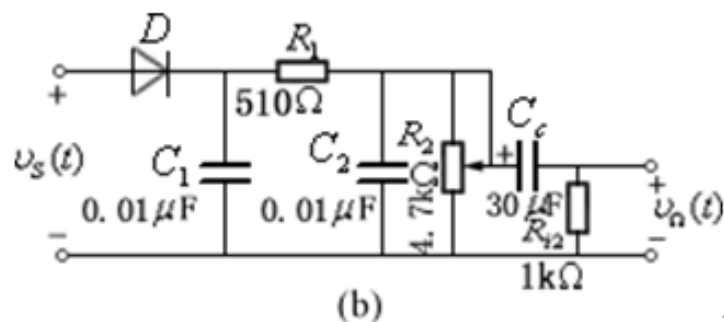
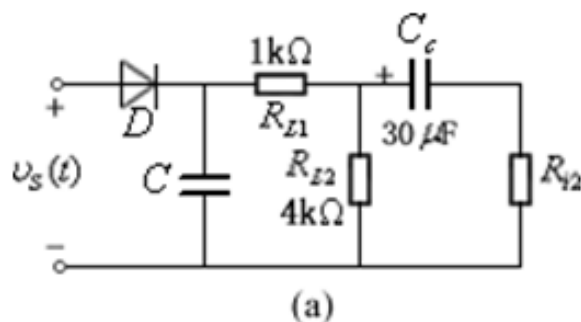
$$v_i(t) = 1.2(1 + 0.6 \cos 6\pi \times 10^3 t) \cos 2\pi \times 465 \times 10^3 t V$$



P224, 第6.40题

包络检波电路如题 6.40 图所示，二极管正向电阻 $R_D = 100\Omega$ ， $F = (100 \sim 5000) \text{ Hz}$ 。

图 (a) 中， $M_{a\max} = 0.8$ ；图 (b) 中 $M_a = 0.3$ 。试求图 (a) 中电路不产生负峰切割失真和惰性失真的 C 和 R_{i2} 值。图 (b) 中当可变电阻 R_2 的接触点在中心位置时，是否会产生负峰切割失真？



避免惰性失真发生的条件，避免负峰切割失真的条件！！

避免惰性失真的条件：

$$R_L C \leq \frac{\sqrt{1 - M_a^2}}{\Omega M_a}$$

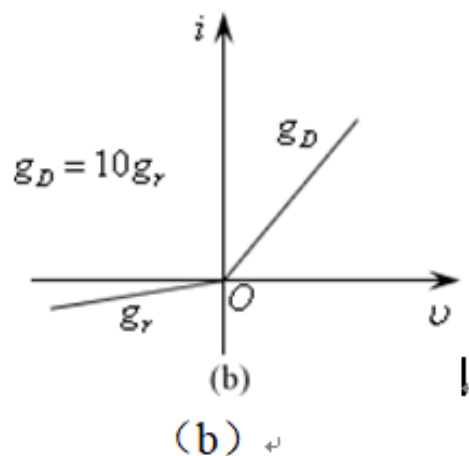
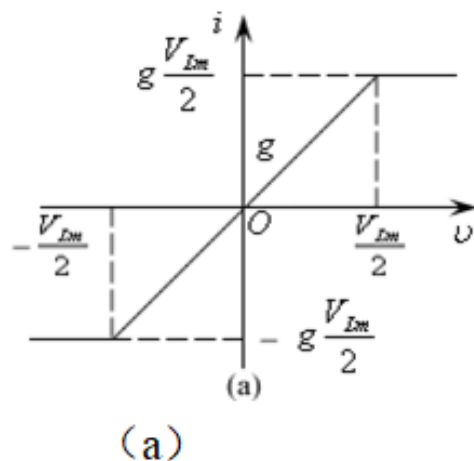
避免负峰切割失真的条件

$$M_a < \frac{Z_L(\Omega)}{Z_L(0)}$$

怎么计算交流电阻和直流电阻？？

P226, 第6.49题

已知混频电路的输入信号电压 $v_s(t) = V_{sm} \cos \omega_c t$ ，本振电压 $v_L(t) = V_{lm} \cos \omega_L t$ ，静态偏置电压 $V_Q = 0 V$ ，在满足线性时变条件下，试分别求出具有题 6.49 图所示两种伏安特性的混频管的混频跨导 g_{mc} 。



解：（1）根据（a）所示伏安特性，画出跨导特性。在 $v_L(t)$ 作用下，画出 $g(t)$ 波形，如下图（a）所示，其中基波分量振幅为

$$g_{m1} = \frac{2}{\pi} \int_0^{\pi} g(t) \cos(\omega_L t) d\omega_L t = \frac{2}{\pi} g \int_0^{\pi} \cos(\omega_L t) d\omega_L t = 0$$

$$g_{mc} = \frac{1}{2} g_{m1} = 0$$

（2）同样根据图（b）所示伏安特性，画出的跨导特性和在 $v_L(t)$ 作用下得到的 $g(t)$ 波形，如下图（b）所示，其中基波分量振幅为

$$g_{m1} = \frac{2}{\pi} \left[\int_0^{\pi} g(t) \cos \omega_L t d\omega_L t = \frac{2}{\pi} \int_0^{\frac{\pi}{2}} g_D \cos \omega_L t d\omega_L t + \int_{\frac{\pi}{2}}^{\pi} g_r \cos \omega_L t d\omega_L t \right]$$

$$= \frac{2}{\pi} \left[g_D \sin \omega_L t \Big|_0^{\frac{\pi}{2}} + g_r \sin \omega_L t \Big|_{\frac{\pi}{2}}^{\pi} \right] = \frac{2}{\pi} (g_D - g_r)$$

所以

$$g_{mc} = \frac{1}{2} g_{m1} = \frac{1}{\pi} (g_D - g_r) = \frac{9}{\pi} g_r$$